

долговечность элементов конструкции л.а.", Куйбышев, КуАИ, 1984, в. 66-72.

12. Риз П.М., Пожалостин А.И. Вибрации и динамическая прочность воздушных винтов. - Труды ЦАГИ № 609, 1974. - 80 с.

13. Ромашевский А.Ю., Климов В.И. Строительная механика самолета. - М.: МАИ, 1965. - 302 с.

14. Светлицкий В.А. Механика гибких стержней и нитей. - М.: Машиностроение, 1978. - 222 с.

15. Тимошенко С.П. Колебания в инженерном деле. - М.: ГИФМЛ, 1959. - 439 с.

16. Фридман П. Влияние выбора расчетной схемы и параметров лопасти на аэроупругую устойчивость винта с жестким креплением лопастей. - Ракетная техника и космонавтика, 1977, № 2, с.28-38 (пер. с англ.).

17. Шорр Б.Ф. К теории закрученных тонкостенных стержней. - Изв. АН СССР ОТН. Механика и машиностроение, 1960, № 5, с.74-79.

18. Giurgintiu V., Stafford R. Semi-Analytic Methods for Frequencies and Mode Shapes of Rotor Blades. *Vertica* v.1, №4, 1977, p.p. 291-306.

19. Houbolt J., Brooks G. Differential Equations of Motion for Combined Flapwise Bending, chordwise Bending and Torsion of Twisted Nonuniform Rotor Blades. *NACA Report 1346*, 1956, 18 p.

20. Orniston R. Comparison of Several Methods for Predicting Loads on a Hypothetical Helicopter Rotor. *Rotorcraft Dynamics. NASA SP-352*, 1974, p.p. 284-302.

УДК 621.822.5, 621.752.2

Д.Е.Чегодаев, М.Е.Проданов, С.Н.Мелентьев

ДИНАМИЧЕСКОЕ ГАШЕНИЕ ВИБРАЦИИ РОТОРОВ В УПРУГОДЕМПФЕРНЫХ ОПОРАХ

Виброактивность высокоскоростных роторов является основным препятствием для роста эффективности работы современных турбомашин. Рабочие частоты вращения таких роторов лежат в диапазоне, находящемся за первой критической частотой. Это приводит к преждевременному износу узлов роторной системы и опасности разрушения при переходе через резонанс. Одним из эффективных путей снижения

уровня вибраций на резонансных частотах является постановка дополнительного демпфера на подшипник. Однако при этом ухудшаются весовые характеристики конструкции, а добавление нового элемента снижает надежность системы в целом. Поэтому более выгодным является гашение вибраций за счет демпфирования в подшипниках. Выбор оптимальных значений демпфирования рассматривался как для одномассовой системы /1/, так и двухмассовой /2/.

При исследовании динамического поведения /3/ роторная система представляется с помощью отражающей ее основные физические свойства механической модели (рис.1), где ротор представлен массой M и коэффициентом жесткости вала K_B ; опора - массой m , коэффициентами жесткости $K_0 = \gamma^2 K_B$ и демпфирования d_0 ; основание - коэффициентом жесткости $K_{осн} = K \cdot K_B$.

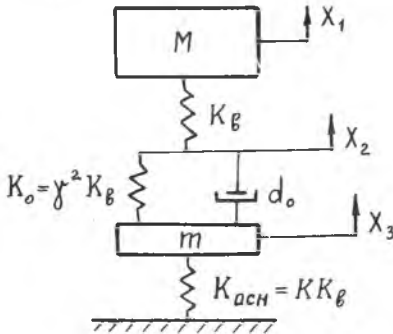


Рис. 1

Система возбуждается гармонической центробежной силой $P_0 \omega^2 e^{j\omega t}$ от дисбаланса P_0 . Сила приложена к массе ротора

и действует в направлении x . Уравнения движения системы в операторной форме, где $s = d/dt$, запишутся

$$\begin{cases} Ms^2 x_1 + K_B (x_1 - x_2) = P_0 \omega^2 e^{j\omega t} \\ K_0 (x_2 - x_3) + d_0 s (x_2 - x_3) - K_B (x_1 - x_2) = 0 \\ ms^2 x_3 + K_{осн} x_3 - K_0 (x_2 - x_3) - d_0 s (x_2 - x_3) = 0. \end{cases} \quad (I)$$

Предполагая, что координаты положения масс m и M изменяются по гармоническому закону, получим $x_1 = \tilde{x}_1 e^{j\omega t}$, $x_2 = \tilde{x}_2 e^{j\omega t}$, $x_3 = \tilde{x}_3 e^{j\omega t}$. При переходе к безразмерным значениям переменных

$$\bar{\omega} = \frac{\omega}{P_{02}}; \quad P_{02}^2 = \frac{K_B}{M}; \quad P_{01}^2 = \frac{K_0}{M}; \quad 2n_1 = \frac{d_0}{M}; \quad \delta_1 = \frac{n_1}{P_{02}};$$

$$\Delta_1 = \frac{d_0}{M P_{02}} = 2 \delta_1; \quad \mu = \frac{m}{M}$$

система уравнений (I) переписется следующим образом:

$$\begin{cases} (1 - \bar{\omega}^2) \tilde{x}_1 - \tilde{x}_2 = \bar{P}_0 \bar{\omega}^2 \\ -x_1 + (\gamma^2 + 1 + j\Delta_1 \bar{\omega}) x_2 - (\gamma^2 + j\Delta_1 \bar{\omega}) \tilde{x}_3 = 0 \\ -(\gamma^2 + j\Delta_1 \bar{\omega}) \tilde{x}_2 + (\gamma^2 + K - \mu \bar{\omega}^2 + j\Delta_1 \bar{\omega}) \tilde{x}_3 = 0, \end{cases} \quad (2)$$

где $\bar{P}_0 = \frac{P_0}{M}$.

Из системы уравнений (2) можно получить зависимость безразмерной амплитуды vibrations $|\bar{x}_1| = \frac{\bar{P}_0}{\bar{\omega}}$ от безразмерной частоты $\bar{\omega}$

$$|\bar{x}_1| = \bar{\omega}^2 \sqrt{\frac{A + j\Delta_1^2 \bar{\omega}^2 B}{C + j\Delta_1^2 \bar{\omega}^2 D}}, \quad (3)$$

где

$$A = [(\gamma^2 + 1)(\gamma^2 + K - \mu \bar{\omega}^2) - \gamma^4]^2,$$

$$B = (1 + K - \mu \bar{\omega}^2)^2,$$

$$C = \{(1 - \bar{\omega}^2)[(\gamma^2 + 1)(\gamma^2 + K - \mu \bar{\omega}^2) - \gamma^4] - (\gamma^2 + K - \mu \bar{\omega}^2)\}^2,$$

$$D = [(1 - \bar{\omega}^2)(1 + K - \mu \bar{\omega}^2) - 1]^2.$$

Это уравнение описывает амплитудно-частотную характеристику (АЧХ) vibrations массы M при силовом возмущении системы (рис.2). АЧХ имеет следующие особенности. Соотношение безразмерных параметров K , γ^2 , μ и Δ_1 определяет положение двух резонансов системы (рис.2). Для предельных значений демпфирования $\Delta_1 = \infty$ и $\Delta_1 = 0$ резонансные частоты можно определить аналитически:

$$\bar{\omega}_{P_{1,2}} = \sqrt{\frac{(\gamma^2 + K + \gamma^2 K + \mu \gamma^2) \pm \sqrt{[(\gamma^2 + K + \gamma^2 K + \mu \gamma^2)^2 - 4\gamma^2 K \mu (\gamma^2 + 1)]}}{2\mu (\gamma^2 + 1)}}$$

при $\Delta_1 = 0$ и

$$\bar{\omega}_{P_{1,2}} = \sqrt{\frac{(1 + K + \mu) \pm \sqrt{(1 + K + \mu)^2 - 4\mu K}}{2\mu}}$$

при $\Delta_1 = \infty$.

В рассматриваемой системе на определенных частотах возбуждения существует явление антирезонанса, при котором энергия возбуждения компенсируется энергией vibrations малой дополнительной массы. (В лоторной системе это масса m подшипников). Для предельных

значений демпфирования частоты антирезонанса можно также определить аналитически

$$\bar{\omega}_A = \sqrt{\frac{(\gamma^2 + 1)(\gamma^2 + K) + \gamma^4}{\mu(\gamma^2 + 1)}}$$

при $\Delta_1 = 0$ и

$$\bar{\omega}_A = \sqrt{(1 - K)/\mu}$$

при $\Delta_1 = \infty$.

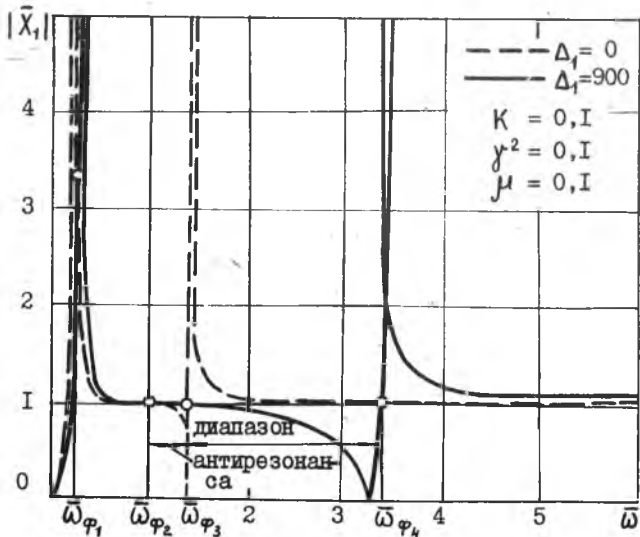


Рис. 2

Для других значений демпфирования в подшипнике частоты резонансов и антирезонансов находятся в интервалах $[\bar{\omega}_{P1,2}; \bar{\omega}_{P1,2}]$ и $[\bar{\omega}_{A, \Delta_1=0}; \bar{\omega}_{A, \Delta_1=\infty}]$. Для каждой конкретной комбинации параметров μ , K , γ^2 и Δ_1 диапазон, в котором проявляется антирезонанс, очень узок, и поэтому необходимо точно определять соотношение жесткостей элементов системы при ее проектировании. Как видно из рис. 2 диапазон, в котором проявляется антирезонанс при $\Delta_1 = 900$, на порядок выше, чем при $\Delta_1 = 0$. Таким образом, если проектируемая

оторная машина должна работать в диапазоне антирезонанса, следует выбирать опоры с возможно большим Δ_1 , т.к. при этом можно изготавливать элементы системы с меньшей степенью точности.

Следует отметить, что все АЧХ проходят через четыре фиксированные точки (рис.2). Координаты их $\bar{\omega}_{\phi_1}$, $\bar{\omega}_{\phi_2}$, $\bar{\omega}_{\phi_3}$ и $\bar{\omega}_{\phi_4}$ определяются из условия $|\bar{x}_1|_{\Delta_1 i} = |\bar{x}_1|_{\Delta_1 j}$, которое сводится к уравнению

$$AD - BC = 0. \quad (4)$$

Одно из четырех решений уравнения (4) определяется следующим соотношением:

$$\bar{\omega}_{\phi_2} = \sqrt{\frac{K}{\mu}}.$$

При этом амплитуда вибраций в этой точке $|\bar{x}_1| = 1$. Три других решения уравнения (4) можно определить, находя корни уравнения

$$A_1 \bar{\omega}^6 + A_2 \bar{\omega}^4 + A_3 \bar{\omega}^2 + A_4 = 0, \quad (5)$$

где

$$A_1 = -2\mu^2(\gamma^2 + 1)$$

$$A_2 = 2\mu[\mu(\gamma^2 + 0,5) + 2K(\gamma^2 + 1) + 2\gamma^2 + 1]$$

$$A_3 = -2\mu(K + 2\gamma^2 K + \gamma^2) - 2K(2\gamma^2 + \gamma^2 K + K + 1) - 2\gamma^2$$

$$A_4 = K(2\gamma^2 + 2K\gamma^2 + K).$$

Это уравнение решается численно с помощью ЭВМ. Значения корней $\bar{\omega}_{\phi_1}$, $\bar{\omega}_{\phi_3}$, $\bar{\omega}_{\phi_4}$ с заданной точностью соответствуют положению фиксированных точек на АЧХ системы. Подбирая величину демпфирования подшипника Δ_1 , можно обеспечить оптимальную АЧХ системы с экстремумами в фиксированных точках. Положение этих точек определяется соотношением характеристик элементов системы: μ , K и γ^2 . В результате анализа полученных соотношений можно выделить следующие основные свойства такого класса систем:

1. Наиболее ярко проявляется изменение соотношения масс ротора и подшипника μ . Для «тяжелых» роторов, у которых $\mu \ll 0,1$, амплитуда вибраций при прохождении первой фиксированной точки $\bar{\omega}_{\phi_1}$ достаточно велика, а на $\bar{\omega}_{\phi_2}$, $\bar{\omega}_{\phi_3}$, $\bar{\omega}_{\phi_4}$ амплитуды близки к единице. Второй резонанс находится далеко от первого, и поэтому

рабочий диапазон следует выбирать между первой и второй критическими частотами. Причем предпочтительнее участок характеристики, приближающийся ко второму резонансу, поскольку на нем проявляется эффект динамического гашения (рис.3).

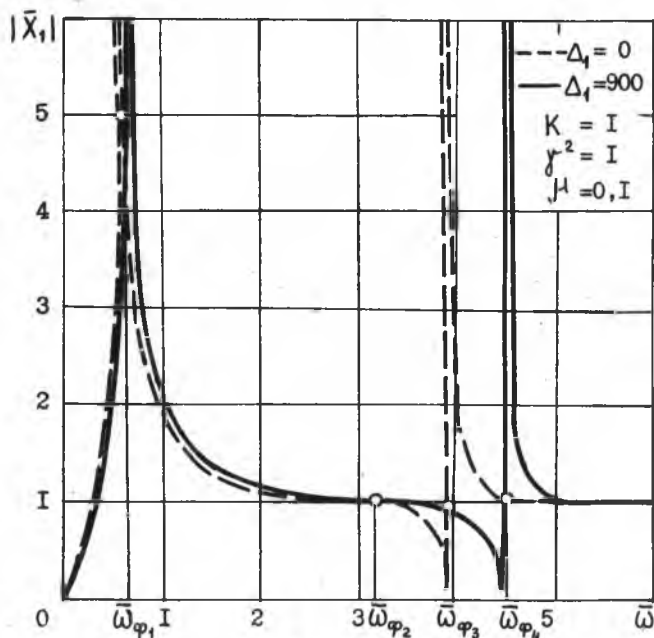


Рис. 3

Для «легких» роторов, у которых $\mu \geq 1$, амплитуда вибраций при прохождении первой фиксированной точки существенно меньше, но при этом второй резонанс по частоте смещается влево, приближаясь к первому. На $\bar{\omega}_{\phi_3}$ значение амплитуды вибраций $|\bar{X}_1|$ также оказывается значительно меньшим единицы. Здесь рабочую частоту вращения следует выбирать больше $\bar{\omega}_{\phi_3}$ (рис.4).

2. Увеличение относительных жесткостей основания K и подвешивающего γ^2 (рис.2, 6) приводит к сближению частот $\bar{\omega}_{\phi_3}, \bar{\omega}_{\phi_4}$. Это в несколько раз уменьшает диапазон возможного регулирования при настройке системы на антирезонанс.

3. Анализ зависимостей амплитуды вибраций в фиксированных точ-

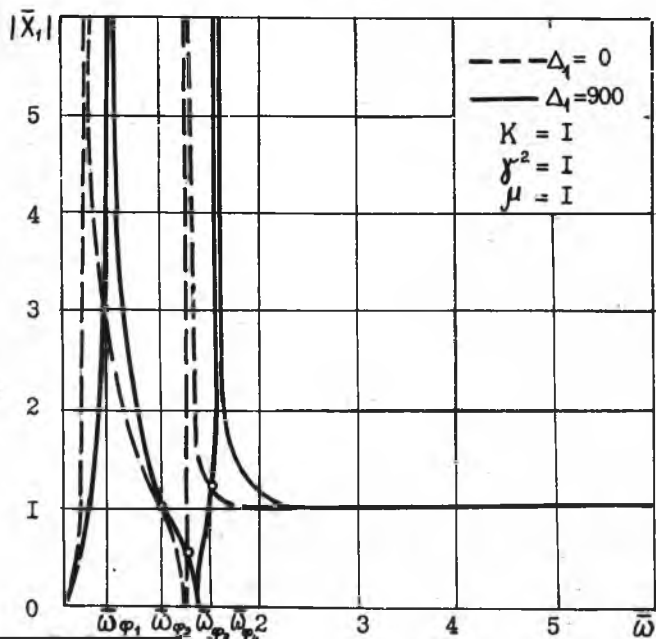


Рис. 4

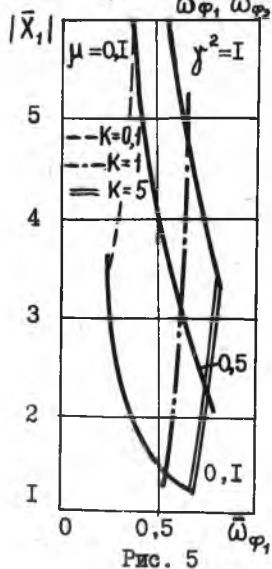


Рис. 5

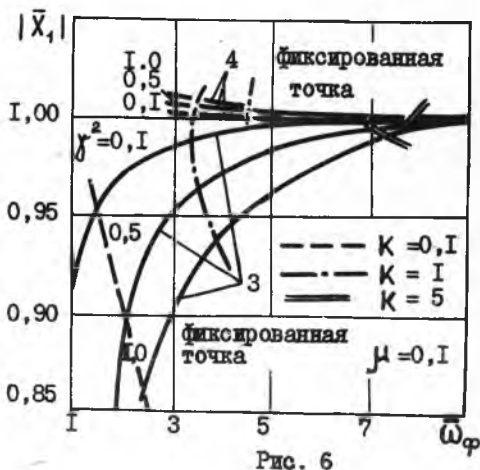


Рис. 6

ках (рис.5, 6) показывает, что все особенности двухмассовой схемы проявляются при малых значениях относительной жесткости основания K . С увеличением K на всех фиксированных частотах $|\bar{x}_1|$ стремится к единице, при этом $\bar{\omega}_{\Phi_1} \rightarrow 0$, а $\bar{\omega}_{\Phi_{2,3,4}} \rightarrow \infty$. Это соответствует переходу к предельной одномассовой механической модели.

4. Чем выше относительная жесткость подшипника γ^2 , тем круче изменяются характеристики. Значит, при использовании явления антирезонанса следует γ^2 выбирать возможно большим.

Таким образом, анализ АЧХ двухмассовой модели ротора показал их сильную зависимость от относительных параметров μ , γ^2 , K и Δ_1 и выявил наиболее удобный диапазон их изменения при проектировании ротора.

Л и т е р а т у р а

1. Ruzicka I.E., Cavanaugh R.D. *New method for vibration isolation.* - *Machine Design*, 1958, v. 30, No 90, p.p. 114-121.

2. Синева А.В., Степанов Ю.В. К определению оптимального демпфирования виброзащитных систем. - М.: Изв. вузов, Машиностроение, № 1 1985, с. 32-36.

3. Керк, Гантер. Влияние податливости и демпфирования опор на синхронные движения одномассового гибкого ротора. - Труды ASME, т. 94, № I, 1972, с.230-240.

УДК 678.5:629.023.44:539.43

Г.П.Зайцев

ДОЛГОВЕЧНОСТЬ НЕСУЩЕЙ КОМПОЗИТНОЙ ЛОПАСТИ ВЕРТОЛЕТА ПОСЛЕ БАЛЛИСТИЧЕСКОГО ПОВРЕЖДЕНИЯ

В процессе монтажа лопасти или ее эксплуатации в ней могут возникнуть повреждения от воздействия падающего или, проще сказать, движущегося инородного тела. Результат воздействия такого тела на лопасть может быть следующим: лопасть останется без повреждения, будет иметь несквозное повреждение (вмятина, расслоение), будет иметь сквозное повреждение (отверстие). Вид и характер повреждения зависит от геометрической формы и энергии воздействующего инородного тела.

Предположим, что круглое тело совершает удар по ортотропной прямоугольной пластине размерами $a \times b$. Дифференциальное урав-